

## Proučavanje deformacija visokih pregrada geodetskim metodama

(Nastavak)

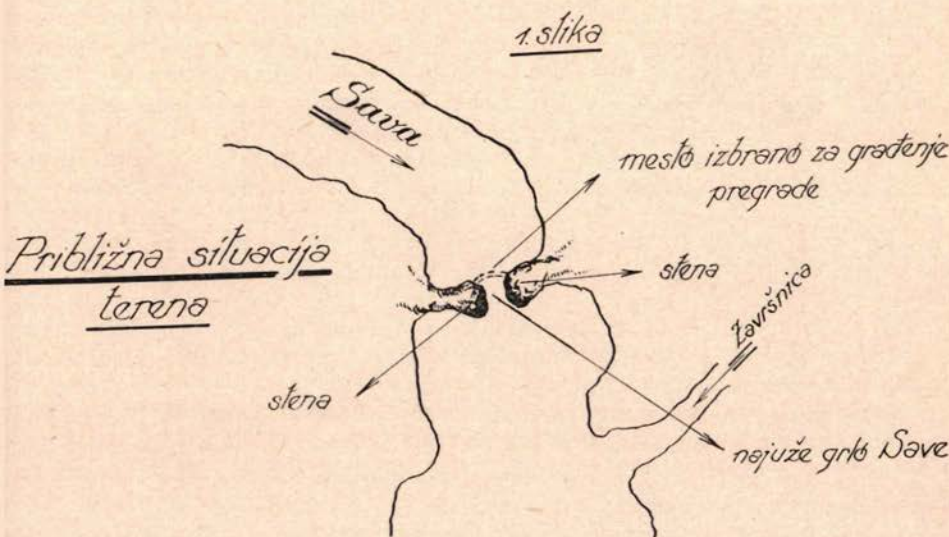
(Osvrt na h. c. Moste)

### II Deo

#### Detaljni opis razvoja tih radova kod hidrocentrale Moste

Izgradnjom hidrocentrale Moste u N. R. Sloveniji počelo se godine 1948 prvi put u našoj državi rasmatrati pitanje kontroliranja pomicanja pregrade s pomoću geodetskih metoda. Da bi se razumelo iz kojih je razloga bilo pokrenuto i postalo aktuelno to pitanje, moramo donekle opisati položaj ove hidrocentralne i teren, koji je bio izabran za gradnju pregrade.

Reka Sava se probija na mestu zvanom »Kavčka« kroz duboko usečeno korito, koje ima svoje najuže grlo baš na tom mestu, gdje je sada podignuta pregrada. Postojala su različita mišljenja o mestu, gdje bi trebalo izgraditi pregradu. Geološki sastav zemljišta približno 200 m uzvodno od sadašnjeg



mesta bio je povoljniji, ali pregrada bi na tom mestu bila mnogo šira. Činjenica pak, da bi se na najužem mestu najbrže izgradila ova pregrada i s time što pre upotpunio predviđeni zapadni deo energetskog sistema NR Slovenije, odlučilo je konačno, da se izvrši gradnja na današnjem mestu. (Vidi 1. sliku)

Prvobitno je pregrada bila projektovana kao lučna, koja bi zatvorila uzvodni deo tog grla, a tokom gradnje taj je projekat bio izmenjen, jer se počelo sumnjati u izdržljivost bočnih stena obzirom na bočni pritisak koji je izvela lučna pregrada pri punom vodostaju u akumulacijskom bazenu.

Naime, tokom gradnje nastavilo se detaljno geološko ispitivanje terena naročito bočnih stena i dna korita i bilo je konstatirano, da je neophodno potrebno izvršiti injekciranje u tim stenama (vodopropusni vapnenac), a samom koritu se nije moglo doći do zdrave i čvrste stene (Sivica).

Zbog toga je projektant izmenio projekat i već započeta lučna pregrada se je onda gradila kao lučna i gravitaciona (tlačna). (Vidi 2. sliku).

Ovom izmenom je izbegnut pritisak lučne pregrade na bočne stene, koji je nastao prilikom punjenja bazena. Sam projektant kao i stručnjaci, koji su vršili nadzor nad gradnjom su odmah predviđali, da se u samoj pregradi izvrše merenja sa viskovima i klinometrima u cilju kontroliranja njihanja pregrada, kao što je to već prakticiralo kod švajcarskih i drugih pregrada, a i da se primene geodetske metode za određivanje odnosno proučavanje deformacija. U tu svrhu je bila formirana posebna komisija koja je imala zadatku da sa kuplja rezultate merenja i da te deformacije proučava

Geodetskim metodama — sem preciznom nivelmanu — se u početku nije pridavala naročita važnost, nego su se forsirala merenja sa viskovima i klinometrima. Kako pak poslednja mogu da pokazuju samo relativne rezultate, jer se ta merenja ne naslanjaju na neke fiksne ishodne tačke izvan tlačne zone pregrade, to se konačno ukazala potreba, da se čim prepoče sa primenom ostalih geodetskih metoda.

U pitanju nije bilo samo kontroliranje pregrade nego i bočnih stena levo i desno od nje.

Za kontrolu vertikalnih deformacija je bio predviđen niz repera (vidi priloženi pregled rasporeda repera) koji su bili povezani međusobom sa preciznim nivelmanom i vezali su se na ishodne repere izvan tlačne zone pregrade. Taj raspored je ostao nepromenjen sve do sada.

Druge je bilo sa trigonom. mrežom potrebnom za određivanje horizontalnih deformacija.

Izvođenje geodetskih radova je preuzeo Geodetski zavod L. R. Slovenije i odredio je, da jedan službenik zavoda (geod. Bernik Srečko) za sve vremena trajanja gradnje vrši potrebna premeravanja. Pri tome radu mu je povremeno pomagao i geod. Pohar Jože.

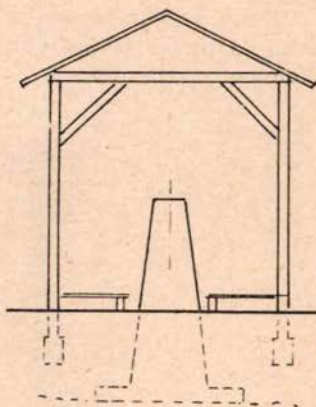
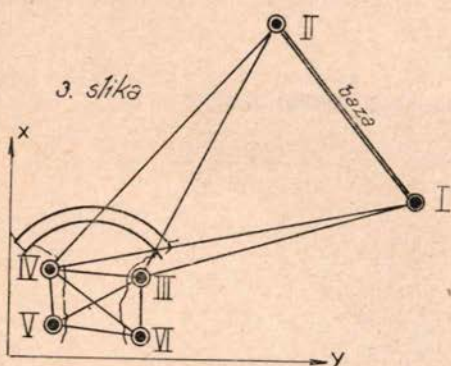
Gradnja temelja pregrade je bila započeta godine 1947 a sa betoniranjem prvih kontrolnih stubova se počelo tek po leti 1948. godine. Imenovani državni, koji su bili zaduženi s tim radom su u to vreme već imali na raspolaganju neke publikacije o izvođenju geod. radova za određivanje deformacija dolinskih pregrada i to rezultate švajcarske komisije za gradnju visokih dolinskih pregrada, gde su bile prikazane trigon. mreže kod istih i dobiveni

rezultati deformacija bez detaljnog opisa samih radova, i jednu nemačku publikaciju gde su bili prikazani razni važniji detalji i rezultati za pregradu u Nemačkoj.

Do godine 1950 je u Mostama bila postavljena mreža kontrolnih stubova sledećeg oblika: (Vidi 3. sliku).

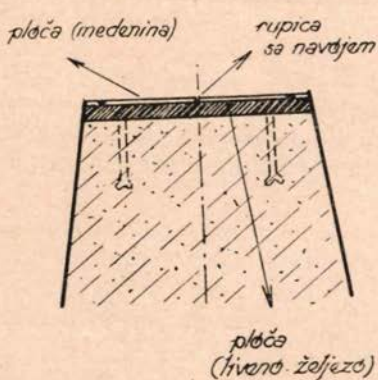
Stubovi su oblika kako prikazuje slika 4.

4. slika

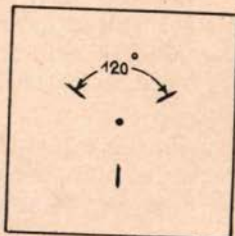


Prisilno centriranje instrumenta i vizirnih ploča je bilo predviđeno tako, da se pomoću jednog vijka izvrši pričvršćivanje a kod instrumenta i uglavljenjem šiljaka podnožnih vijaka u zarezima podnožne mesingaste ploče — vidi sliku. (Vidi 5. i 6. sliku).

5. slika



6. slika

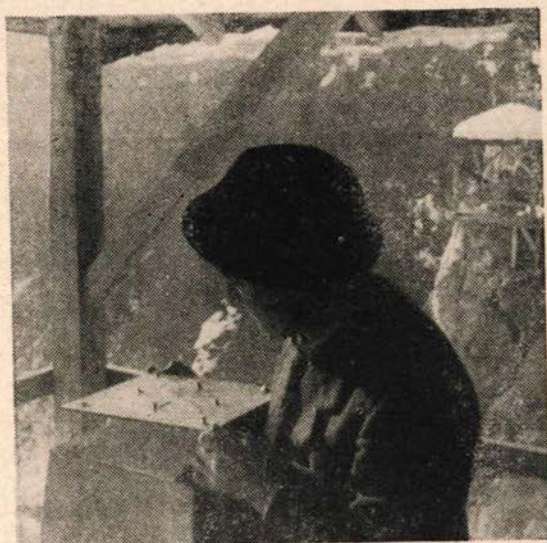


U to vreme bile su još razne poteškoće sa nabavkom livenih ploča i posle užeg čekanja su te ploče bile izlivene u »Litostroju« i poslate mehaničkoj

radionici Geodetskog zavoda na dalje obradivanje. Montaža mesingaste ploče na livenoj ploči prikazana je na donjoj slici 7.

Do te faze su se bili razvijali naši radovi do jula 1950. godine. U međuvremenu su građevinski stručnjaci već redovno vršili kontrolna merenja sa viskovima i klinometrima, a geodeti su kontrolirali vertikalne deformacije putem preciznog nivelmana, a rezultate je prikupljala i analizirala komisija za proučavanje deformacija pregrade.

Kako vidimo, geodetski se radovi sem preciznog nivelmana — nisu odmakli sa mrtve tačke, dok komisija nije dala nalog, da se forsirano pristupi njihovom izvođenju.



Sl. 7

Jula meseca 1950. god. je pisac ovog članka dobio nalog, da izvrši pregled dosadašnjih radova kod h. c. Moste i da preduzme sve što je potrebno, da s jednom već počinje sa određivanjem horizontalnih deformacija geodetskim metodama.

Pri pregledu na terenu video se, da je konfiguracija uzvodno a naročito nizvodno izvanredno nepovoljna za razvijanje mikrotrigonometrične mreže koja se u prvom delu ovog članka preporučuje, i zato su se drugovi, koji su do tada bili zaduženi s tim radom odlučili, da razviju mrežu uzvodno onakako je to prikazano u 3. slici.

Ta mreža je imala izvesne nedostatke, jer se sa kontrolnih stubova V VI nije moglo izvršiti opažanje donjeg dela pregrade a što je osobito važno nije bilo sigurnosti u pogledu kontrolisanja eventualnog pomicanja samih stubova V i VI koji se nalaze na bočnim stenama levo i desno od pregrade.

Naime, bočne stene su prilikom punjenja bazena i kasnije isto tako podvrgnute pritisku vode, i usled toga što se nalaze u tlačnoj zoni, moralo se računati i sa eventualnim pomicanjem stubova III, IV, V i VI.

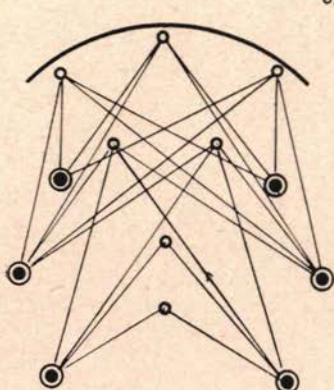
Zbog toga je bilo potrebno proširiti postojeću mikrotrigonometrijsku mrežu nizvodno, da se dobiju ishodne tačke izvan tlačne zone sa kojih će se moći kontrolisati stubovi V i VI, a i da se dopuni mreža još sa dva kontrolna stuba, odakle će se moći izvršiti opažanja na kontrolne čepove u donjem delu pregrade.

U tome smislu smo onda izvršili dopunu sa stubovima VII, VIII, IX, X i XI, a strana VII—VIII je bila uzeta kao druga baza u mikrotrig. mreži (sl. 21).

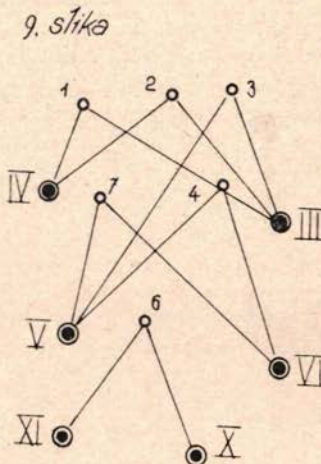
Prema tome, stubovi I, II, VIII i IX su izvan okvira eventualnog pomicanja stena i mogu se smatrati kao fiksne, ishodne tačke za sva trig. kontrolna merenja i pomoću njih je moguće kontrolisati eventualno pomicanje kontrolnih stubova III, IV, V, VI, X i XI a posredno opet korigirati rezultate opažanja kontrolnih čepova u pregradici. Drugim rečima, time se omogućuje dobivanje *apsolutnih* vrednosti deformacija bilo pregrade bilo samih bočnih stena.

#### Kontrolni čepovi na pregradi

Zamišljeno je bilo da raspored čepova na pregradi bude kako prikazuje slika 8.



8. slika



9. slika

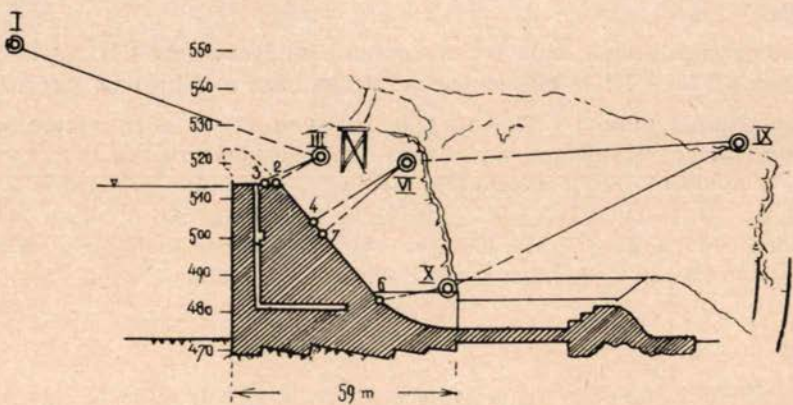
Primedba.

Privremena visina pregrade bila je predviđena do kote 514., dok se ne ispitaju deformacije prilikom punjenja bazena do te visine. — Vidi 10. sliku.

Ovako zamišljen raspored — vidi sliku 8. — bio bi primeran, jer bi se dalo ispitivati koliko otstupaju rezultati dobiveni sa strmijim vizurama.

Nažalost, nepovoljna konfiguracija i nemogućnost, da se već postavljeni stubovi III, IV, i VI napuste, onemogučiće izvođenje te zamisli i drug geod. Bernik rasporedio je kontrolne čepove onako kako je to prikazano na slici 9.

10. slika

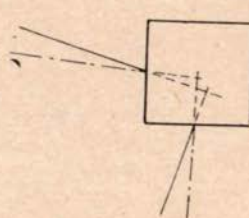


Pre ugradivanja kontrolnih čepova je bilo izvršeno ispitivanje kakav da bude njihov oblik. Tu su bila razna mišljenja. U nemačkoj publikaciji je bio opisan sledeći tip (vidi sliku 11):

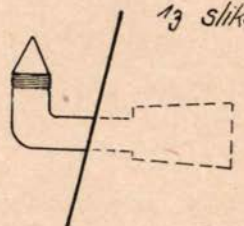
Njegov nedostatak je da presek vizura sa raznih kontrolnih stubova ne daje isto presečište.



11. slika



12. slika



13. slika

Sa naše strane smo prvo predložili čep oblika kakav je na slici 13.

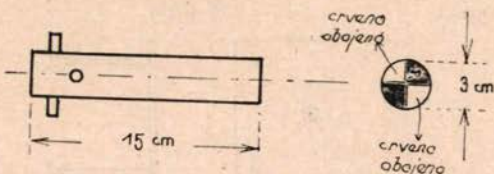
Ovu smo ideju brzo napustili, jer bi se previše vremena izgubilo sa odvijanjem i navijanjem zaštitnog poklopca pre i posle opežanja, a zbog strmine pregrade bilo bi to i teško izvodljivo.

Vršili smo onda probe sa raznim modelima i tražili smo najpodesniji oblik marke za pouzdano viziranje.

Usvojili smo konačno ovaj tip čepa:

a) Za srednji i donji deo pregrade (vidi sliku 14).

14. slika



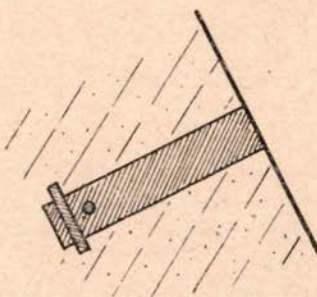
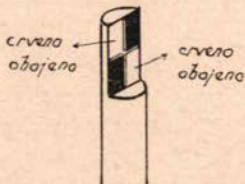
b) Za vrh pregrade (vidi sliku 15).

Na zahtev projektanta smo morali čepove pod a) ugraditi ovako:

Vanjski deo je morao biti potpuno srađen sa površinom pregrade i to zato, da pri puštanju vode (u slučaju visokog vodostaja) preko pregrade ne bi došlo do kvara obloge na tim mestima.

16. slika.

15. slika



Primedba: Kod pregrada gde je predviđen odtok visoke vode na drugom mestu ovo ne važi i čepovi mogu da strže van.

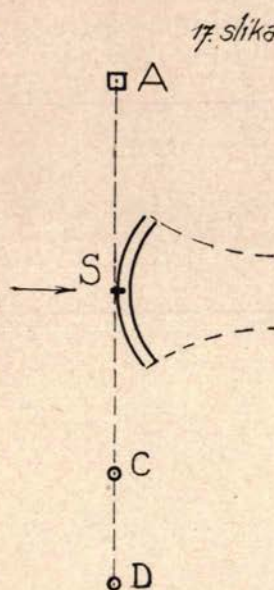
Time su bile izvršene pripreme za mikrotrigonometrijska opažanja i komisija je tražila, da bi se ova opažanja vršila periodično u malo dužim vremenskim razmacima (svakog meseca ili svakog drugog meseca). Međutim, da se u vremenu od jednog do drugog opažanja ne bi propustilo kontrolisanje pregrade, bila je predviđena i alignmentna metoda, koja je opisana u prvom delu članka.

#### Alignmentna metoda.

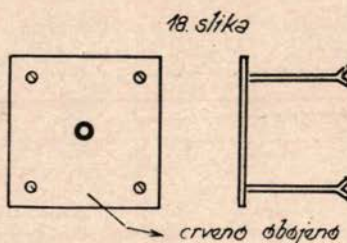
U tačci A smo dalj izraditi postolje za centriranje instrumenta isto tako kao što je to bilo urađeno kod kontrolnih stubova mikrotrigon. mreže.

U tačci D — u steni — smo dalj ubetonirati vizirnu značku oblika (vidi 18. sliku), a u tačci C isto takvu značku s tom razlikom, da je ova bila snabivena sa prorezima, koji su omogućili njeno pomicanje levo ili desno, dok se

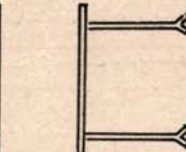
centar ove značke nije potpuno poklapao sa pravcem A—D. Onda smo pričvrstili zavrtnjeve i time je bio fiksiran pravac ACD.



17. slika



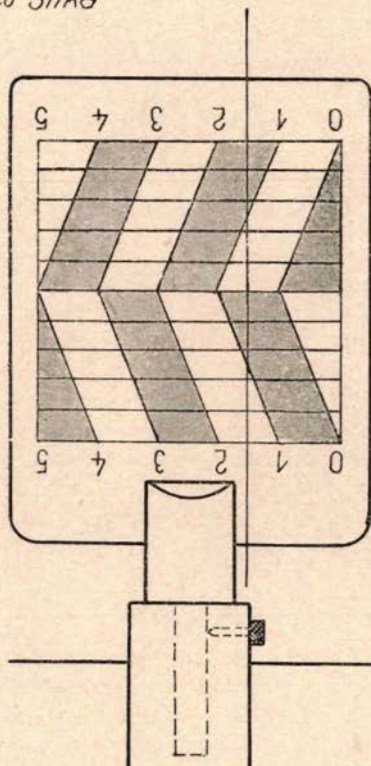
18. slika



19. slika

Na kruni pregrade u tačci »S« smo dali ubeđenirati čep kontrolne marke. U taj čep se premerenja postavlja kontrolna marka — vidi sliku 20 — (od nas nazvanu »alignemeter«) upravno na vizirnu liniju ACD.

20. slika



(Kolika se toleranca dozvoljava kod otstupanja upravnosti — vidi kasnije izvršenu analizu).

Sav pribor smo dali izraditi u finomehaničkoj radionici Geod. zavoda LRS slično kontrolnoj marki »Myra« koju su upotrebljavali u Švajcarskoj. Transverzalno merilo nanešeno na marki ima intervale od po 2 cm, svaki interval je transverzalno podeljen na 5 glavnih delova dakle dobijemo podatak čitanja 4 m/m a cenniti možemo 0,4 m/m. Očitovanja treba uvek vršiti na gornjoj i donjoj podeli n. pr. kod

1. opažanja... gore 125  
dole 126 sred. 125,5
  2. opažanje... gore 120  
dole 121 sred. 120,5  
razlika ..... -5,0
- puta 0,4 daje 2,0 m/m.

Znači, da je do 2. opažanja usledilo pomicanje vrha pregrade nizvodno za 2 m/m u pravcu okomitom na stalnu vizuru ACD.

Posle sviju ovih pripremnih radova smo konačno stvorili osnovu za provođanje deformacija trigonom. putem u tome obliku kako je to prikazano u slici 21.

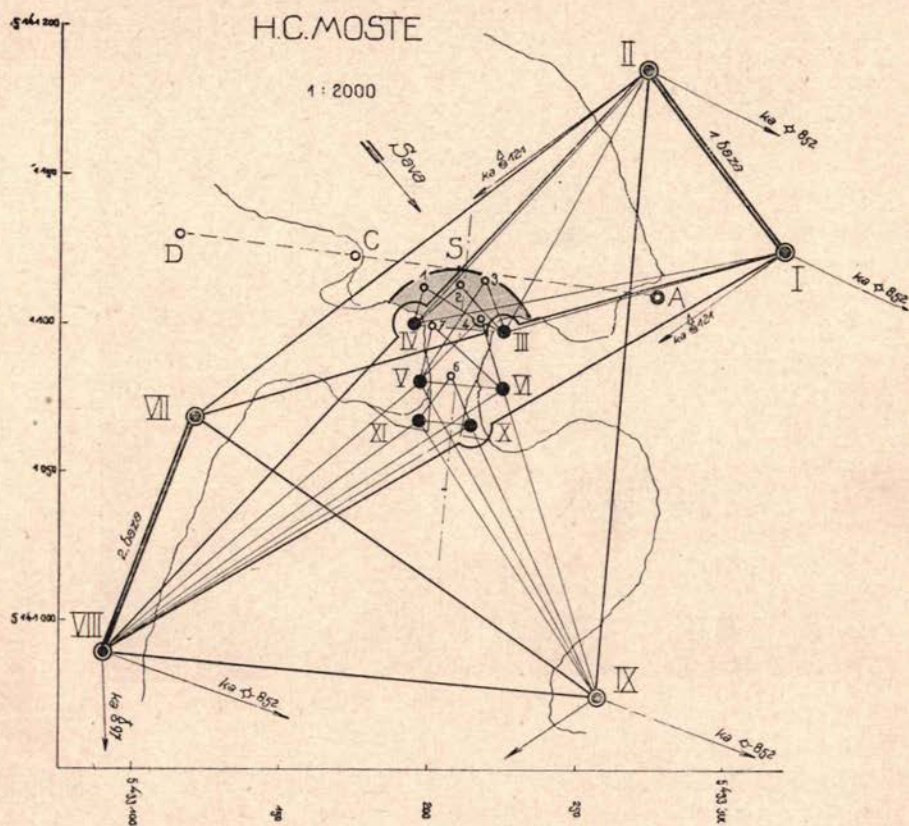
Načelno je dakle bilo rešeno da se upotrebe sve tri geodetske metode...

- 1. alignementna metoda
- 2. trigonometrijska metoda } za određivanje horizontalnih deformacija
- i 3. precizni nivelman za određivanje vertikalnih deformacija.

Nadalje da se ova mreža priključi na državnu triangulaciju (tačku br. I

21. slika

### MIKROTRIGONOM MREŽA

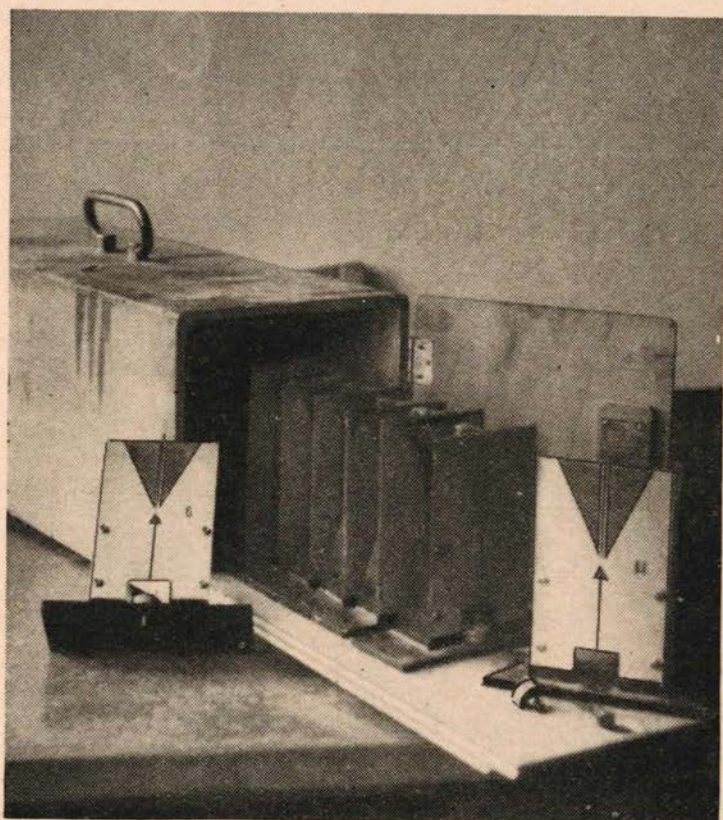


smo povezali sa 108) i da se »glavna« mikrotrigonom. mreža — vidi tačke I, II, VII, VIII i IX — izravna po metodi uslovnih opažanja, a ostale tačke — III, IV, V, VI, X, XI i kontrolni čepovi 1, 2, 3, 4, 6 i 7 — odrede putem presecanja.

### Vizirne ploče.

Još nije bilo rasčišćeno pitanje primernog signaliziranja kontrolnih stubova prilikom opažanja. Vizirne ploče, opisane u I. delu ovog članka nama još nisu bile poznate, a one opisane u nemačkoj publikaciji nam nisu konvenirale, jer nije bilo predviđeno prisilno centriranje.

Zato smo po našoj zamisli dali izraditi vizirne ploče sa prisilnim centriranjem i takvog oblika, koji omogućava merenje horizontalnih a po potrebi i vertikalnih uglova. Vidi sliku 22.



Sl. 22.

Za svaki stub izrađena je po jedna vizirna ploča sa obrnuto ugraviranim brojem stuba (operator može na ovaj način da kontroliše, da li je postavljena odgovarajuća ploča) a na zadnjoj strani ploče je pričvršćen »vizir« radi usmeranja u pravac stuba s kojeg se vrši opažanje.

Vertikalnost crte svake ploče smo ispitivali sa instrumentom i to na taj način, da smo na kontrolnom stubu centralizirali ploču, lako pritegnuli vijak i

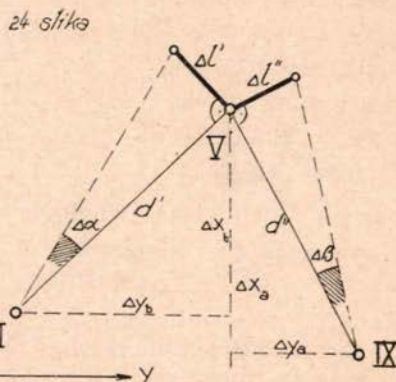
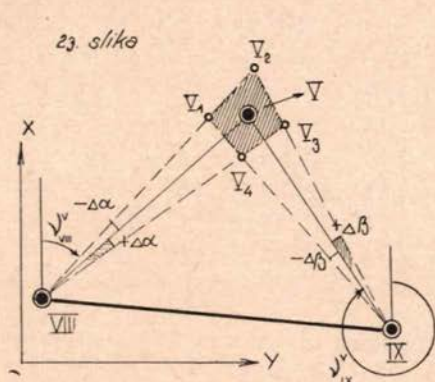
onda ploču polako okretali. Pri tome smo stalno kontrolisali, da li se vertikalna nit durbina poklapa sa vertikalnom crtom ploče.

### Smerni dijagrami

Da bi se pojednostavio i ubrzao rad posle svakog periodičnog opažanja, t. j. da bi čim pre došli do novih koordinata tačaka određenih putem presecanja jer bi stalno ponovno računanje bilo i suviše dugotrajno, a rezultate smo morali što pre predati komisiji, rešili smo to pitanje grafičkim načinom putem smernih diagrama.

### Konstrukcija smernih diagrama.

Do tih diagrama dolazimo na sledeći način.  
Uzećemo n. pr. kontrolni stub br. V koji se određuje presecanjem iz tačaka VIII. i IX — vidi sliku 23.



Prepostavimo da bi imali n. pr. maksimalne smerne razlike

$$\begin{aligned}\Delta\alpha &= 20'' \\ \text{i } \Delta\beta &= 20''\end{aligned}$$

Sa tim razlikama bi morali popraviti odgovarajuće smerne uglove i putem presecanja napred bi dobili koordinate presečišta V<sub>1</sub> do V<sub>4</sub>.

Površinu, obuhvaćenu sa tim tačkama, nazvaćemo površinom mogućih deformacija.

S obzirom na to, da su ove deformacije prema dužinama vizura VIII—V i IX—V vrlo male, možemo smatrati, da je pravac V<sub>1</sub> V<sub>2</sub> paralelan pravcu V<sub>4</sub> V<sub>3</sub>, a pravac V<sub>1</sub> V<sub>4</sub> paralelan pravcu V<sub>2</sub> V<sub>3</sub>.

Ako sada te tačke nanesemo sa njihovim koordinatama, dobijemo sa interpoliranjem smerne uglove, koji su veći ili manji od početnih

$$(\nu_{VIII}^V \pm \Delta\alpha_0^{20} \text{ i } \nu_{IX}^V \pm \Delta\beta_0^{20}).$$

Međutim, to možemo pojednostaviti time, da recimo za  $\Delta\alpha = \pm 20''$  i  $\Delta\beta = \pm 20''$  sračunamo linearne pomak  $\Delta l'$  i  $\Delta l''$  upravan na smer VII—V odnosno IX—V. Vidi sliku 24.

N. pr. dani su podaci.

$$d' = 140,470 \text{ m}$$

$$d'' = 122,388 \text{ m}$$

Dobijemo:

$$\Delta l' = d' \cdot \operatorname{tg} \Delta\alpha = 13,63 \text{ m/m}$$

$$\Delta l'' = d'' \cdot \operatorname{tg} \Delta\beta = 11,87 \text{ m/m}$$

Sada sračunamo ostale vrednosti i sredimo ih u tabeli.

Elementi za nanašanje  
smernog dijagrama

$\Delta\alpha$	$\Delta l'$	$\Delta\beta$	$\Delta l''$
2"	1,36 m/m	2"	1,19 m/m
4"	2,73	4"	2,37
6"	4,09	6"	3,56
8"	5,45	8"	4,75
10"	6,82	10"	5,94
12"	8,18	12"	7,12
14"	9,54	14"	8,31
16"	10,90	16"	9,50
18"	12,27	18"	10,68
20"	13,63	20"	11,87

Originalni dijagrami za h. c. Moste su nanešeni u razmeri 5 : 1 a prikazani diagram za stub V izrađen je u razmeri 4 : 1 — vidi sliku 25.

#### Upotreba dijagrama.

Pretpostavimo da se stub V pomaknuo nizvodno i da smo dobili da je:

$$\Delta\alpha = +2"$$

$$\Delta\beta = -3".$$

Smerni ugao VIII—V bio bi u tome slučaju  $48^0 49', 28", 5$

a smerni ugao IX—V . . . . .  $330^0 20' 41", 1$

Sa fino zarezanim olovkom povučemo odgovarajuće pravce i u presečištu dobijemo novi položaj tačke V.

$$\text{Očitamo . . . } \Delta y = -2,4 \text{ m/m}$$

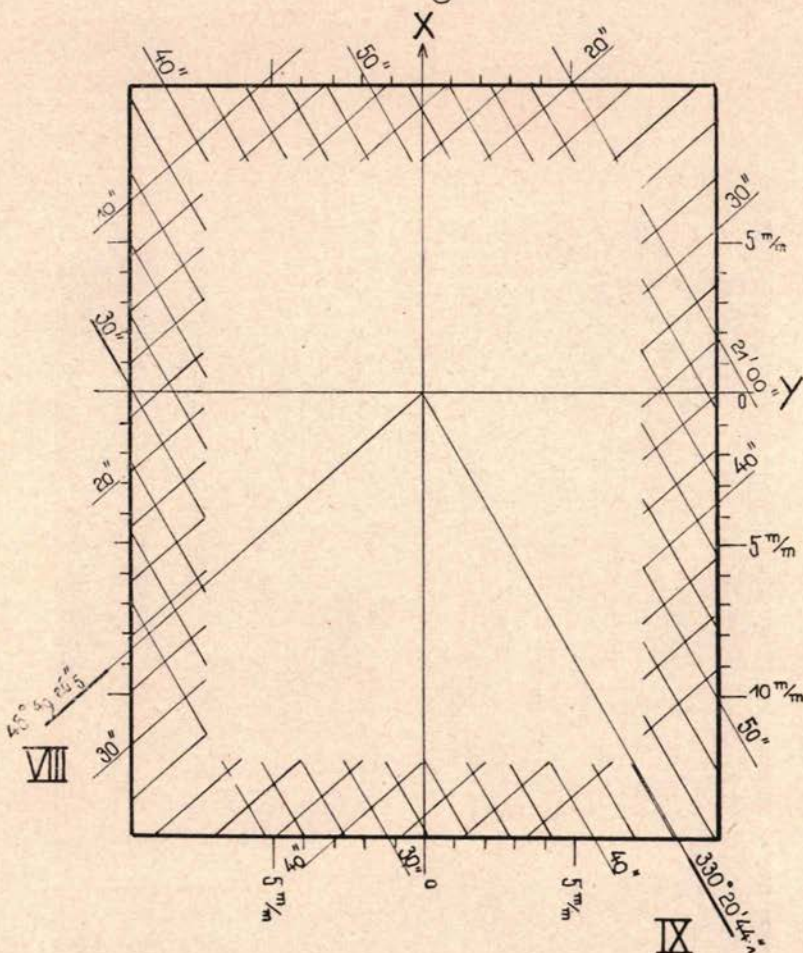
$$\Delta x = -0,6 \text{ m/m}$$

Svaki dijagram smo pre upotrebe kontrolirali računskim putem i nigde nisu bile veće razlike od 0,1 m/m između računskog i grafičkog rezultata.

Uloženi trud za izradu dijagrama se isplati kada pomislimo, da treba ovakva opažanja vršiti periodično, a ujedno se ceo rad pojednostavi i mehanizira.

## *Smemi diagram*

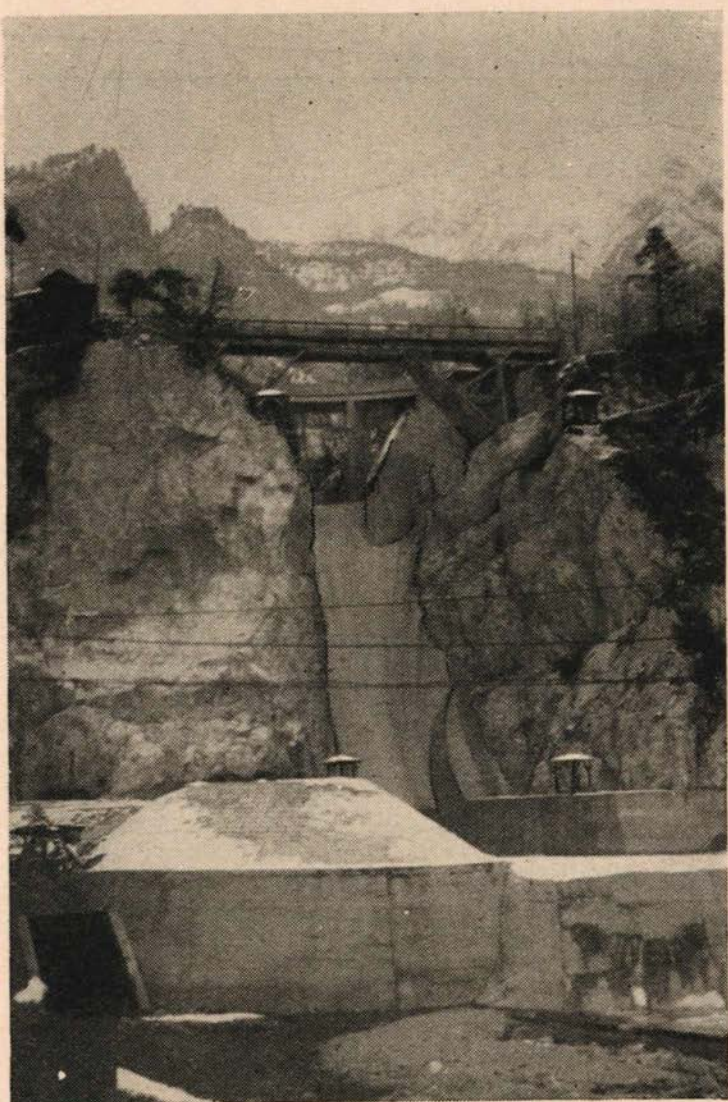
V



## Grafičko određivanje apsolutnih vrednosti deformacija kontrolnih čepova

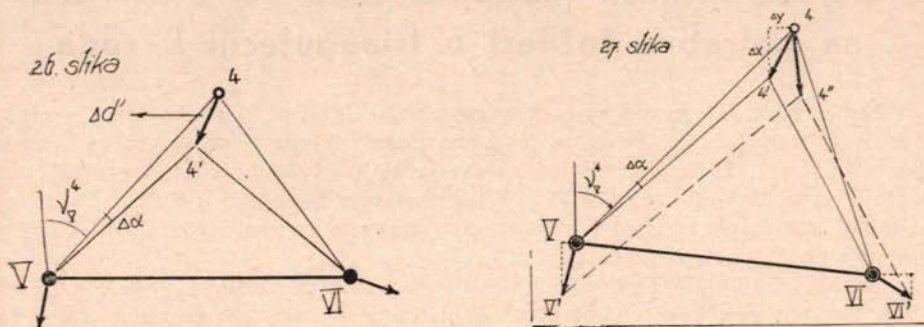
Prije smo već spomenuli, da smo morali suponirati da će eventualno doći i do pomicanja stubova III, IV, V, VI, X i XI jer se nalaze u tlačenoj zoni pregrade.

Deformacije pregrade — opažanjem kontrolnih čepova — određujemo baš sa tih stubova i prema tome pomoću smernih diagrama za kontrolne čepove



Sl. 28.

ne ćemo dobiti direktnim putem apsolutne vrednosti deformacije nego samo relativne. Vidi sliku 25.



Kako vidimo, jednostavna upotreba dijagrama za čep br. 4 neće nam dati pravog rezultata deformacija, jer dobijemo smo relativnu vrednost  $\Delta d'$ .

Dakle trebalo je i ovde naći grafičko rešenje, pomoću kojeg možemo dobiti apsolutne vrednosti deformacija čepova sa takvom tačnošću, da se računski i grafički dobivene vrednosti ne razlikuju više od 0,1 m/m.

Tu se pomažemo grafičkom kombinacijom i to na sledeći način.

Na smernom dijagramu za čep br. 4 dobijemo n. pr. relativne deformacije

$$\begin{aligned}\Delta y &= -1,0 \text{ m/m} \\ \Delta x &= -2,0 \text{ m/m}\end{aligned}$$

dalje, na smernom dijagramu za stub br. V

$$\begin{aligned}\Delta y &= -0,5 \text{ m/m} \\ \Delta x &= -2,0 \text{ m/m}\end{aligned}$$

a na smernom dijagramu za stub br. VI

$$\begin{aligned}\Delta y &= -1,5 \text{ m/m} \\ \Delta x &= -1,0 \text{ m/m}\end{aligned}$$

Izradimo pomoćne dijagrame. Na hartiji sa milimetarskom podelom nanesemo u razmeri 1 : 100 tačke V, VI i 4 i izvučemo taj trougao.

U razmeri 10 : 1 nanosimo vrednosti  $\Delta y$  i  $\Delta x$  dobivenih iz smernih dijagrama. Kod stubova V i VI imamo već apsolutne vrednosti deformacija, jer su određene iz stubova VIII i IX koji se nalaze izvan tlačne zone pregrade, za čep br. 4 se nade apsolutna vrednost tako, da sa tačaka V' i V'' povučemo paralele V—4' odnosno VI—4''. Presečište 4'' nam daje pravi položaj tačke i time i apsolutnu vrednost pomaka čepa br. 4.

Grafički onda očitamo vrednost  $\Delta y$  i  $\Delta x$ . vidi sliku 27  
Računska kontrola je i ovdje pokazala, da se računski i grafički rezultati ne razlikuju više od 0,1 m/m.

(Nastaviće se)